

图谱论导引(第三期)

本文娱乐性质偏重, 主要对 $\lambda_{\min} = -2$ 的强正则图进行分类.

强正则图美妙而莫测, 本文仅是对强正则图的最小特征值的匆匆一瞥, 主要对 $\lambda_{\min} = -2$ 之强正则图进行了分类. 选取 $\lambda_{\min} = -2$ 的原因有二:

1. Seidel证明了 $\lambda_{\min} > -2$ 的所有强正则图无非 K_n 与 C_5 ; 而 $\lambda_{\min} = -2$ 之情况复杂. Seidel之所证明的结论可仿照本文证明之, 故在此从略.
2. 据日前所证明的等式 $\det(xI - A(G)) = (2+x)^{|V|-|E|} \det(xI - L(A(G)))$ 可知, 线图(line graph)之特征值一般包含 -2 . 而强正则图之线图仍有一定对称性, 故以 -2 为最小特征值之图或为某强正则图之线图.

我们用系数 (v, k, λ, μ) 描述一个强正则图. 如日前文章所言, 强正则图 $G(v, k, \lambda, \mu)$ 含有重数为1的主特征值 k , 以及非主特征值

$$\begin{cases} \tau = \frac{1}{2} \left[(\lambda - \mu) + \sqrt{(\lambda - \mu)^2 + 4(k - \mu)} \right], \\ \theta = \frac{1}{2} \left[(\lambda - \mu) - \sqrt{(\lambda - \mu)^2 + 4(k - \mu)} \right]. \end{cases}$$

相应的重数为

$$\begin{cases} m_\tau = \frac{1}{2} \left[v - 1 - \frac{2k + (v-1)(\lambda - \mu)}{\sqrt{(\lambda - \mu)^2 + 4(k - \mu)}} \right], \\ m_\theta = \frac{1}{2} \left[v - 1 + \frac{2k + (v-1)(\lambda - \mu)}{\sqrt{(\lambda - \mu)^2 + 4(k - \mu)}} \right]. \end{cases}$$

同时有必要条件 $k(k - \lambda - 1) = (v - k - 1)\mu$. 当 $\theta = -2$ 时, 化简得 $k = 2\lambda - \mu + 4$.

- 当 $\mu = 2$ 时, 得通解 $(n^2, 2(n-1), n-2, 2)$, 其中 $n \geq 2$.
- 当 $\mu = 4$ 时, 得通解 $(n(n-1)/2, 2(n-2), n-2, 4)$, 其中 $n \geq 4$.

当 $\mu \neq 2, 4$ 时, 由特征值关系化简知 $m_\tau = \frac{2v - k - 2}{\tau + 2} = \frac{(\mu + 2\tau)(\mu + 2\tau + 2)}{\mu(\tau + 2)}$. 下从图的"部件"数量考察.

设 $x \sim a, b$ 但 $a \not\sim b$, 记 $\{x, a, b\}$ 包含于 c 个 $K_{1,3}$ 及 q 个 C_4 . 这里, 限定 $K_{1,3}$ 在 G 中无环, 例如 K_4 不包含 $K_{1,3}$, 但 $K_{3,3}$ 包含 $K_{1,3}$. 从而计算 x 邻点数量得

$$\begin{aligned} k &= \sum_{y \sim a, y \not\sim b, y \not\sim x} 1 + \sum_{y \sim a, y \sim b, y \not\sim x} 1 + \sum_{y \sim a, y \sim b, y \sim x} 1 - \sum_{y \sim a, y \sim b, y \sim x} 1 \\ &= 2 + 2\lambda - (\mu - 1 - q) + c \end{aligned}$$

故 $c + q = k - 3 - 2\lambda + \mu = 1$. 因此 $c = 0, q = 1$ 或 $c = 1, q = 0$.

若 $c = 1$, 则不妨设 $\{x, a, b, c\}$ 组成 $K_{1,3}$. 记 $N(v) := \{x : x \sim v\}$ 为 v 之邻域, $N(H) := \{x \in N(v) : v \in H\}$ 为 H 之邻域, $F(H) := V(G) \setminus (V(H) \cup N(H))$ 为外点集. 注意到

1. $N(x) \cap F(a)$ 内, $k - \lambda - 1 = \tau + 1$ 个点在 $\{b, c\} \cup N(b, c) \setminus \{x\}$ 中, 从而 $\tau \leq \mu$.
2. $(N(a) \cap F(x)) \cup \{a\}$ 中的 $k - \lambda$ 个点包含于 $F(\{b, c\})$ 中的 $\lambda = v - 2k + \mu - 2$ 个点, 从而 $v \geq 5\tau + \mu + 4$.
3. $\mu v = (k - \tau)(k + 2)$, 从而 $v = 3\tau + \mu + 2 + \frac{2\tau(\tau + 1)}{\mu} \in \mathbb{N}$. 因此 $\mu \leq r$.

故得系数组

- $(6\tau + 4, 3\tau, 2\tau - 2, \tau)$, 其中 $m_\tau = 9 - \frac{12}{\tau + 2} \in \mathbb{N}$. 幸闻A. E. Brouwer对 μ 界之估计($v \leq \frac{m_\tau(m_\tau + 3)}{2}$), 从而简地少了交关吃力弗讨个好个体哉(上海言话, 大意为避免徒劳). 取 $\tau = 1, 2, 4, 10$ 即可.

若 $q = 1$, $\{x, a, b\}$ 属于唯一的 C_4 , 进而 μ 必为偶数, $N(a, b)$ 包含为 $K_{(\mu/2) \times 2}$. 若 $a \sim d \approx b$, 则 d 与 $N(a, b)$ 中的 $\mu/2$ 个点恰好相邻(此处从 $K_{1,3}$ 之不存在性分析即可). 注意到 $F(b)$ 导出强正则图(系数 $(v - k - 1, k - \mu, \lambda - \mu/2, \mu)$), 这里应当允许 $v - k - 1, k - \mu = 0$ 之无边甚至无点的情况.

- 无边情形对应 $K_{2 \times n}$.

若 $F(b)$ 导出完全图, 则 $m_\tau = 8 - \frac{12}{\tau + 2}$. 从而枚举知

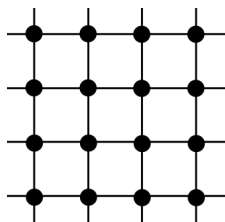
- $(10, 6, 3, 4), (16, 10, 6, 6)$.

若 $F(b)$ 导出(其余情形的)强正则图, 则由

$$(k - \mu) = 2(\lambda - \mu/2) - \mu + 4$$

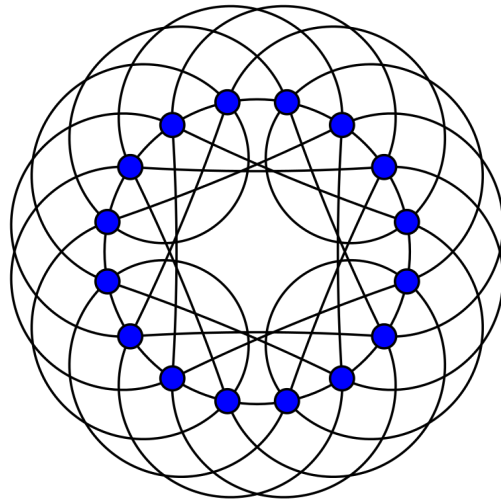
知 $F(b)$ 导出的强正则图的最小特征值仍为 -2 . 该导出图的最大特征值重数为 $\frac{2\tau(\tau + 1)}{(\tau - \mu/2 + 2)\mu/2}$, 从而 μ 仅可能为 6 或 8, 或该导出的强正则图为 $K_{2 \times n}$ 形式. 就此再进行有限次的枚举, 最终整理得到七类可能的图.

1. $K_{n \times 2}$. 无需赘释.
2. $L_2(n)$, 亦为 $H(2, n)$. 系数为 $(n^2, 2(n - 1), n - 2, 2)$. 前一种表示方式对应格点图 (lattice/mesh/gird graph), 每一点仅与同行同列的点相连.

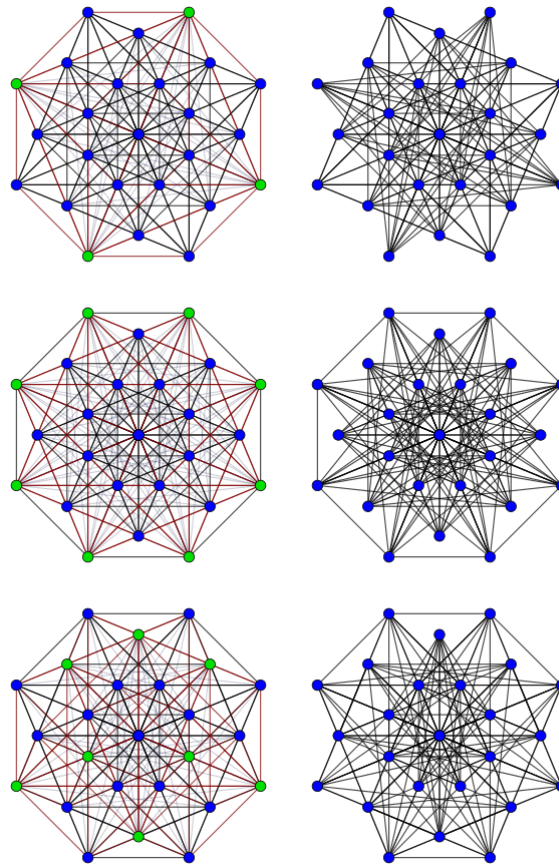


后一种表示方式为 2 阶 Hamming 图, $H(2, n)$ 的顶点集与 $V(K_n) \times V(K_n)$ 相同, 记作 $\{(x_1, x_2) : x_1, x_2 \in \{1, 2, \dots, n\}\}$, $(x_i, x_j) \sim (x_k, x_l)$ 若且仅若 $i = k$ 或 $j = l$.

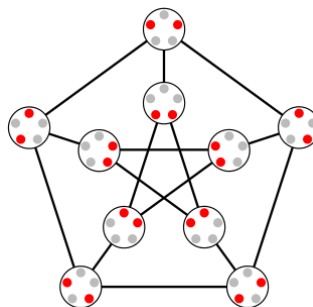
3. $T(n)$. 系数为 $(n(n - 1)/2, 2(n - 2), n - 2, 4)$. 原理与 $L_2(n)$ 相同, 只是 n 阶正方形被换做了 n 阶三角形. 神奇的是, $T(n) = L(K_n)$.
4. Shrikhand图. Shrikhand 于 1959 年证明了结论: 格点图之系数决定了唯一的强正则图, 但 $n = 4$ 例外. 实际上, Shrikhand 图与 $L_2(4)$ 拥有相同的谱. 该图适合作为头像(在某些特定的审美标准下).



5. Chang(強)图. $T(n)$ 之系数确定了唯一的强正则图, 除了 $n = 8$ 时的三个异构图. 该类图由Chien-Chiang Lee(李建強)首次发现. 同样适合作为头像(在某些特定的审美标准下).

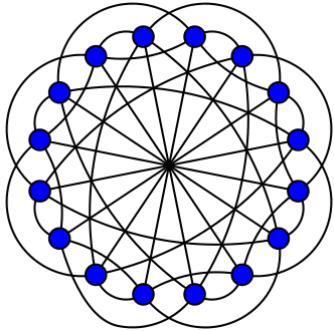


6. Petersen图($KG_{5,2}$), 系数为 $(10, 3, 0, 1)$, 前文业已介绍. 之所以写作 $KG_{5,2}$, 是因为该图有另一种定义方式, 请端详下图.



图中以 \mathbb{Z}_5 之二元子集为点, 连边若且仅若点所对应的子集相离. 往往可以利用集合关系之对称性作(强)正则图, 读者可回顾往期推送中对 $[\text{Aut}(S_6) : \text{Inn}(S_6)] = 2$ 之解释($n \neq 2, 6$ 时, $\text{Inn}(S_n) = \text{Aut}(S_n)$).

7. Clebsch图, 系数为 $(16, 10, 6, 6)$. 这是证明末段 $\mu = 6$ 情形所对应的结果, 其形如下. 该图适合作为Shrikhand图之对偶头像(或称avatar couple, 在某些特定的审美标准下).



读者可思考如下小问题: (参见前文介绍过Ramsey数)已知给 K_n 中边3染色, 使得必定出现同色的三角形, 则 $n \geq 17$. 试问, 应如何构造 $n = 16$ 时的反例?

8. Schläfli图, 系数为 $(27, 16, 10, 8)$. 这是证明末段 $\mu = 8$ 情形所对应的结果. 若读者洞若观火, 可领会Schläfli图中任意一点的邻域(16个点)导出Clebsch图之补图. 谨附Schläfli图于文末.

